Аль Хайлани Хассан Исмаил Дамбос

ВЛИЯНИЕ УСЛОВИЙ ФОРМИРОВАНИЯ НА ОСОБЕННОСТИ АТОМНОГО СТРОЕНИЯ И ОПТИЧЕСКИХ СВОЙСТВ ШИРОКОЗОННЫХ ПОЛУПРОВОДНИКОВЫХ МИКРО- И НАНОСТРУКТУР МоО₃ И МоS₂,

Специальность 01.04.10 - физика полупроводников

Автореферат диссертации на соискание ученой степени кандидата физико-математических наук Работа выполнена в ФГБОУ ВО "Воронежский государственный университет"

Научный руководитель:	Заслуженный деятель науки РФ, доктор физико-математических наук, профессор Домашевская Эвелина Павловна
Официальные оппоненты:	Котов Геннадий Иванович, доктор физико-математических наук профессор, федеральное государственное бюджетное образовательное учреждение высшего образовании "Воронежский государственный университет инженерных технологий"
	Стогней Олег Владимирович, доктор физико-математических наук профессор, федеральное государственное бюджетное образовательное учреждение высшего образования "Воронежский государственный технический университет"
Ведущая организация:	федеральное государственное бюджетное образовательное учреждение высшего образования «Национальный исследовательский университет «МЭИ», г. Москва
Защита состоится 26 декабря 20	019 г. в 17.00 на заседании диссертационного совета Д 212.038.10

диссертацией можно ознакомиться в библиотеке Воронежского государственного университета и на сайте http://www.science.vsu.ru/disserinfo&cand=3232

при ФГБОУ ВО «Воронежский государственный университет» по адресу: 394018, г. Воронеж,

Автореферат разослан _____ 2019 г.

Университетская площадь 1, физический факультет, ауд. 428.

Ученый секретарь диссертационного совета Степкин Владислав Андреевич

ОБЩАЯ ХАРАКТЕРИСТИКА РАБОТЫ

Актуальность работы. Первая работа, посвященная методам получения разнообразных 2D материалов, была опубликована лауреатами Нобелевской премии Новоселовым и Геймом в 2005 году, в которой они продемонстрирован принцип получения 2D структур не только графена, но и других более сложных соединений, в числе которых оксиды и дихалькогениды d- металлов.

Среди них триоксид молибдена MoO₃ является перспективным полупроводниковым материалом из-за широкого набора интересных свойств, обусловленных его стехиометрией и способами получения, включая фоточувствительные и каталитические свойства, которые находят применение в электронных устройствах отображения, оптических запоминающих устройствах, газовых датчиках и литиевых батареях. В зависимости от способа получения MoO₃ ширина запрещенной зоны прямозонного полупроводника изменяется в интервале 3,3 - 3,8 эВ.

Дисульфид молибдена MoS_2 интересен благодаря возможности получить контролируемое количество молекулярных слоев исходных структур. Они рассматриваются в качестве двумерных 2D материалов, которые могут дополнить графен, не имеющий запрещенной зоны, для создания устройств опто- и наноэлектроники. Мономолекулярные слои MoS_2 обладают запрещенной зоной Eg=1.84 эВ прямозонных переходов, в отличие от мультислоевых и объемных непрямозонных .

Данная диссертация посвящена исследованию влияния технологических условий газотранспортного синтеза на особенности структуры и оптических свойств широкозонных полупроводниковых микро- и наноструктур MoO_3 и MoS_2 , наличие или отсутствие непрямозонных/прямозонных зона-зонных переходов и величину запрещенной зоны.

Объекты и методы исследований.

В процессе газотранспортного синтеза были получены 4 партии образцов MoO_3 в различных технологических условиях, а именно, с различными добавками: газа кислорода O_2 , или паров воды H_2O или газа N_2O к основному газу-носителю аргону (Ar) и при различных температурах горячей зоны трубчатой печи в интервале $800\text{-}1100^{\circ}\text{C}$, в которую помещались пластины металлического молибдена. Оксид молибдена, образующийся на пластине молибдена, испаряется в горячей зоне и переносится в холодную зону, где и осаждается на подложке и стенках кварцевой трубы по ходу газа-носителя.

Первую партию образцов дисульфидов молибдена MoS_2 получали тем же газотранспортным методом путем осаждения паров серы на металлические пластины молибдена в интервале температур от 300° C до 1000° C.

Вторую партию образцов в виде наноструктур MoS_2 различной толщины, начиная с мономолекулярного слоя и до многослойных фракталообразных структур, получали также газотранспортным осаждением из паровой фазы на подложки из слюды (мусковит) в интервале температур 525-600°C.

Для получения данных о фазовом составе, субструктуре и морфологии образцов использовались методы рентгеновской дифракции (РД) и сканирующей электронной микроскопии (СЭМ). Ширину запрещенной зоны образцов определяли оптическими методами на отражение или на пропускание в зависимости от подложки и субструктуры образцов.

Для идентификации мономолекулярных 2D структур и многослойных наноструктур MoS_2 использовали методы оптической спектоскопии и рамановской спектроскопии комбинационного рассеяния (**КР**).

<u>**Цель работы:**</u> установление закономерностей влияния технологических условий газотранспортного осаждения (температура синтеза и состав газотраспортной среды) на кристаллическую структуру, морфологию и электронное строение (ширину запрещенной зоны) широкозонных полупроводниковых микро- и наноструктур триоксида молибдена MoO₃ и дисульфида молибдена MoS₂.

Задачи исследования:

- 1. Определить технологические условия и установить режимы (температуры синтеза и состава газов) газотранспортного осаждения из паровой фазы полупроводниковых соединений триоксида молибдена MoO₃ и дисульфида молибдена MoS₂ на различные подложки.
- 2. Определить механизмы влияния технологических условий газотранспортного осаждения на атомную структуру, морфологию и ширину запрещенной зоны микро- и нанокристаллов MoO_3 и MoS_2 .
- 3. Установить влияние температурных режимов и составов газотраспортной среды при получении микрокристаллов MoO₃, на устойчивость их кристаллической структуры к механическим воздействиям в виде растирания.
- 4. Исследовать влияние толщины слоев MoS_2 на их морфологию и оптические свойства, идентифицировать мономолекулярные 2D структуры.

Научная новизна полученных результатов:

- 1. Впервые определена температура синтеза (800° C) моноклинного триоксида молибдена метастабильной фазы β -MoO₃ (пространственная группа P 2_1 /n) при наличии паров воды в газотраспортной среде, с уменьшенной шириной запрещенной зоны Eg=2.68 eV.
- 2. Впервые показано, что при максимально высокой температуре синтеза 1100° С вырастают микрокристаллы α -MoO₃ с основной орторомбической структурой (P bnm), имеющие меньшие значения ширины запрещенной зоны непрямозонных переходов 2.68 eV и 2.51 eV соответственно, обусловленные влиянием примесей водорода и кислорода из паров воды H_2O или азота и кислорода из N_2O .
- 3. Впервые показано, что при механическом воздействии в виде растирания в порошках из микрокристаллов MoO₃, синтезированных при высокой температуре 1100°C с добавлением паров

воды или закиси азота к газу-носителю аргону, наряду с основной орторомбической α -фазой Pbnm появляется вторая моноклинная β -фаза P $2_1/n$;

- 4. Впервые определена температура синтеза микрокристаллов MoO_3 , ($800^{\circ}C$), при которой они оказываются более устойчивыми к механическим воздействиям, и после растирания содержат одну исходную фазу: орторомбическую α -фазу (P bnm) в случае аргон-кислородной газотранспортной среды или моноклинную β -фазу (P $2_1/n$) в случае добавления паров воды к основному газу-носителю аргону.
- 5. Впервые установлено, что в процессе формирования сульфидов молибдена при газотранспортном переносе паров серы на металлические пластины молибдена при различных температурах синтеза в горячей зоне кварцевого реактора при высоких температурах в интервале 800°C -1000°C на пластинах молибдена образуются дисульфиды молибдена MoS₂. различных модификаций/политипов: гексагональной P6₃/mmc при 800°C и ромбоэдрической (тригональной) R3m при 1000°C.
- 6. Впервые газотранспортным методом получены фракталообразные структуры $MoS_{2.c}$ минимальным значением частоты моды внутрислоевых колебаний E^{1}_{2g} 377.5 см⁻¹ по сравнению со всеми ранее известными значениями для этой моды.

Практическая значимость работы

Комплексные результаты атомного строения, субструктуры и фазового состава микро- и наноструктур слоистых полупроводников MoO_3 и MoS_2 , выращенных в разных технологических условиях метода газотранспортного осаждения из паровой фазы с учетом типа подложки, могут быть использованы при разработках технологийи режимов формирования микрокристаллов и низкоразмерных структур, обладающих различной морфологией и регулируемой шириной запрещенной зоны.

Научные положения, выносимые на защиту:

- 1. При температуре синтеза 800° С состав газотранспортной среды определяет кристаллическую структуру и величину ширины запрещенной зоны микрокристаллов триоксида молибдена MoO_3 , либо основную орторомбическую модификацию α - MoO_3 (Pbnm) с $E_g = 2.85$ эВ при синтезе в аргон-кислородной среде, либо моноклинную фазу β MoO_3 (P 2_1 /n) с E_g =2.68 эВ при добавлении паров воды к основному газу-носителю аргону.
- 2. При высокой температуре газотранспортного синтеза 1100° C образуются микрокристаллы α MoO_3 только основной орторомбической модификации Pbnm даже при наличии паров воды H_2O или азота в газотранспортной среде, со значениями ширины запрещенной зоны 2.68~eV и 2.51~eV соответственно.
- 3. Микрокристаллы MoO₃, полученные при температуре 800°C, оказываются более устойчивыми к механическим воздействиям по сравнению с высокотемпературными, и после растирания сохраняют одну исходную однофазную структуру: орторомбическую α-фазу в случае аргон-

кислородной газотранспортной среды или моноклинную β-фазу в случае добавления паров воды к основному газу-носителю аргону.

- 4. В процессе формирования сульфидов молибдена при газотранспортном переносе паров серы в горячую зону кварцевого реактора в интервале температур 800°С -1000°С на пластинах молибдена образуются дисульфиды молибдена различных модификаций/политипов: гексагональной Р6₃/mmc при 800°С и ромбоэдрической (тригональной) R3m при 1000°С. с преимущественной ориентацией микрокристаллов в направлении [110].
- 5. Методом газотранспортного синтеза в интервале более низких температур 525- 600°C на подложке из слюды можно получить мономолекулярный слой MoS_2 , содержащий тригональные домены и обладающий шириной запрещенной зоны 1.84 эВ при прямозонном оптическом переходе с образованием экситонов при комнатной температуре.
- 6. Впервые зарегистрированное минимальное значение частоты моды внутрислоевых колебаний E^{1}_{2g} 377.5 см⁻¹ в многослойных образцах обусловлено их фракталообразной морфологией и нецелочисленной размерностью.

Достоверность результатов работы основана на воспроизводимой методике получения микро- и наноструктур с различной морфологией и регулируемой шириной запрещенной зоны; на использовании в технологиях синтеза высокочистых материалов, а в измерительных экспериментах - высокоточных современных приборов, на применении независимых методов обработки данных, воспроизведении обнаруженных эффектов и использовании современного программного обеспечения для их анализа. Таким образом, полученные результаты и выводы, изложенные в диссертации, являются обоснованными, обладают новизной, достоверностью и практической значимостью.

Апробация работы. Основные результаты диссертационной работы докладывались на конференциях: «Физико-химические процессы в конденсированном состоянии и на межфазных границах «ФАГРАН» (Воронеж, 2018); "XXI Всероссийская конференция «Рентгеновские и электронные спектры и химическая связь" РЭСХС-2019 (Воронеж, 2019) и «Научная сессия Воронежского государственного университета. Воронеж». 2018 и 2019 годы.

<u>Публикации.</u> По теме диссертации опубликовано 6 работ, в том числе: 3 статьи в научных изданиях, рекомендованных ВАК для публикации результатов диссертационных работ, в числе которых 2 работы опубликованы в академических журналах, индексируемых в системах WoS и SCOPUS. 3 тезисов опубликованы в сборниках трудов конференций.

<u>Личный вклад автора.</u> Постановка цели и задач, определение направлений исследований выполнены д.ф.-м.н., профессором Домашевской Э.П. Основные результаты получены лично автором. Оформление результатов, выводы и публикации выполнены автором.

<u>Структура и объем диссертации.</u> Диссертация состоит из введения, четырех глав и эаключения с выводами. Объем диссертации составляет 115 страниц, включая 43 рисунка, 13 таблиц, список литературы из 155 наименований, включающий публикации по теме диссертации.

Во введении к диссертации обоснована актуальность темы, сформулированы цель и задачи работы, ее научная новизна, практическая значимость и достоверность полученных результатов, научные положения, выносимые на защиту.

В первой главе на основе литературных данных приводится обзор основных физикохимических свойств полупроводниковых соединений MoO_3 и MoS_2 со слоистой структурой, полученных различными методами, которые показывает, что способ получения слоистых материалов триоксида и сульфида молибдена в значительной степени определяет набор функциональных свойств этих материалов. При этом способ получения MoO_3 влияет на его ширину запрещенной зоны, а зависимость частоты мод KP рамановских спектров E_{2g}^{-1} и A_{1g} от толщины слоя MoS_2 как и наличие экситонного зона-зонного перехода E_g =1.8 эВ, можно использовать для идентификации монослойных/ мономолекулярных пленок MoS_2 . Глава заканчивается выводами, на основе которых формулируются цель и задачи диссертационной работы.

Вторая глава посвящена описанию основных характеристик методов получения и экспериментальных исследований образцов микро- и наноструктур MoO₃ и MoS₂

В первой части главы представлены обоснования вариаций режимов синтеза микрокристаллов MoO_3 и наноструктур MoS_2 методом газотранспортного осаждения из паровой фазы (CVD-chemical vapor deposition). Во второй части главы изложены физические основы экспериментальных методов исследования полученных образцов: рентгеновской дифракции (РД), сканирующей электронной микроскопии (СЭМ), спектроскопии диффузного отражения и оптического поглощения, а также спектроскопии комбинационного рассеяния (КР).

В третьей главе излагаются результаты исследования особенностей структуры и оптических свойств микрокристаллов триоксида молибдена MoO₃, полученных в разных технологических условиях газотранспортного осаждения на металлической молибденовой фольге. В **Таблице 1.** представлен перечень партий образцов MoO₃, полученных в различных газотранспортных средах при двух температурах CVD осаждения, их кристаллическая структура и ширина запрещенной зоны Eg.

Номер	Состав газотранспортной среды и	Кристаллическая структура и
партии	температура получения образцов(°С)	Ширина запрещенной зоны Eg, эВ
1	MoO ₃ [CVD, Ar ₂ +O ₂ - 800]	Орторомбич. P bnm 2.85
2	MoO ₃ [CVD, Ar ₂ +H ₂ O - 800]	Моноклин. P 2 ₁ /n 2.68
3	MoO ₃ [CVD, Ar ₂ +H ₂ O - 1100]	Орторомбич. P bnm 2.68
4	MoO ₃ [CVD, Ar ₂ +N ₂ O - 1100]	Орторомбич. P bnm 2.51

Результаты комплексного исследования полученных образцов методами РД. СЭМ и оптической спектроскопии показали, что структура, внешняя форма микрокристаллов и ширина запрещенной зоны триоксида молибдена МоО3 определяются такими технологическими условиями газотранспортного осаждения как температура синтеза и состав газотраспортной среды, и оказываются очень чувствительными к механическому воздействию в виде растирания микрокристаллов. При температуре синтеза 800°C с добавлением кислорода О₂ к газу-носителю пластине металлического молибдена образуются длинные микрокристаллы MoO₃ реечного типа с кристаллической структурой основной орторомбической α-фазы P bnm (Рис.1 и Рис.2, первый левый столбец) и шириной запрещенной зоны непрямозонного перехода 2.85 eV (Рис.3, Табл.1). При добавлении паров воды вместо кислорода к газу-носителю аргону Ar₂ при той же температуре 800°C вырастают более широкие слоистые доскообразные микрокристаллы МоО3 моноклинной сингонии Р 21/п (второй слева столбец Рис.2) с меньшим значением ширины запрещенной зоны 2.68 eV (Рис.3 и Табл.1).

Микрокристаллы MoO_3 , синтезированные при температуре 800° C, оказываются наиболее устойчивыми к механическим воздействиям, и после растирания содержат одну исходную фазу: орторомбическую P bnm в случае аргон-кислородной газотранспортной среды или моноклинную фазу P 2_1 /n в случае добавления паров воды к основному газу-носителю аргону (Puc.1). При максимально высокой температуре синтеза 1100° C примеси водорода и кислорода из паров воды H_2O или азота и кислорода из N_2O не изменяют основную орторомбическую структуру микрокристаллов, но уменьшают значение ширины запрещенной зоны до 2.68~eV и 2.51~eV соответственно (Puc.3, Taбл.1). При механическом воздействии в виде растирания в порошках из таких микрокристаллов MoO_3 вдобавок к основной орторомбической фазе Pbnm появляется вторая моноклинная фаза P 2_1 /n (Puc.1)

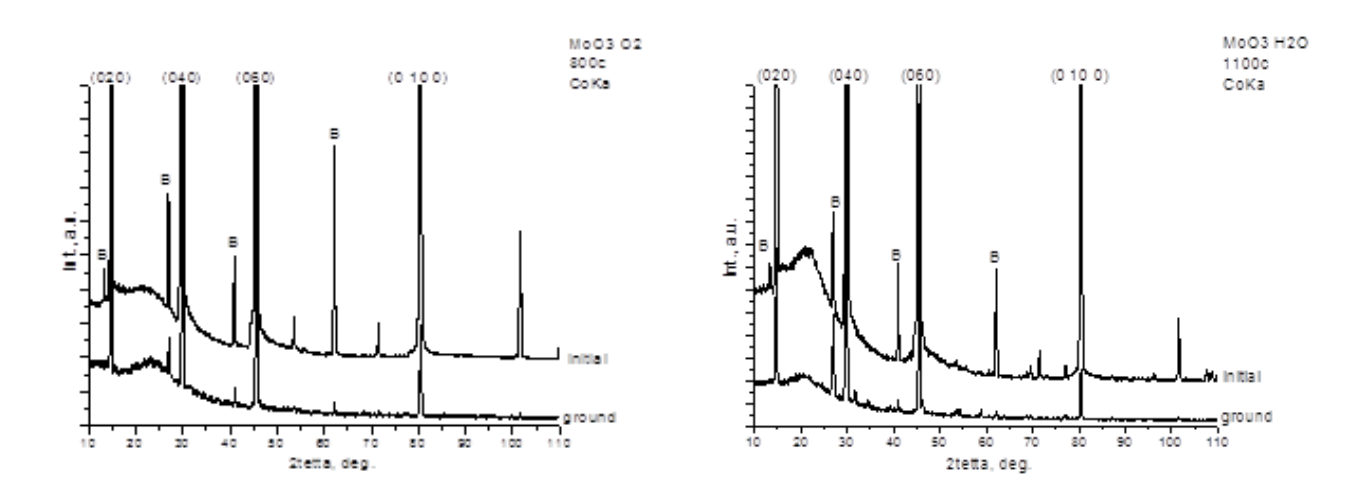


Рис.1. Дифрактограммы образцов MoO₃ [CVD, O₂ - 800], полученных с добавлением кислорода к газу-носителю аргону при температуре **800°**C и MoO₃[CVD, Ar₂+H₂O - 1100], полученных с добавлением паров воды при **1100°**C. Верхние дифрактограммы (initial)- от исходных образцов, нижние (ground)-от тех же растертых образцов. Со К β -линии обозначены символом **B** .

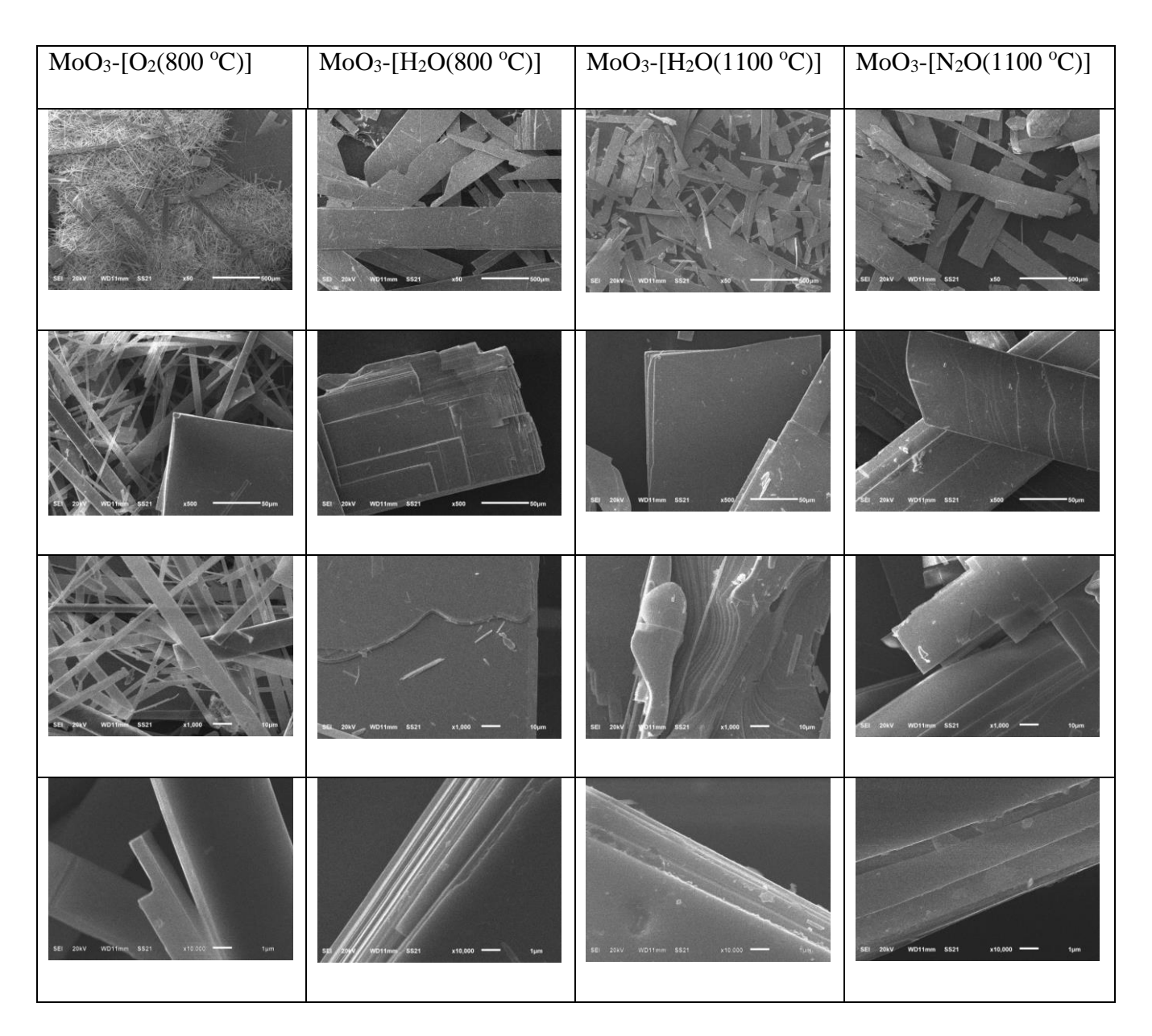
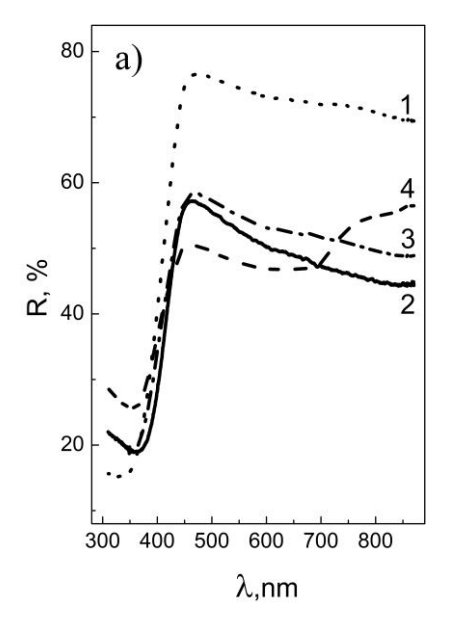


Рис.2. СЭМ изображения образцов MoO₃, полученных в разных технологических условиях газотранспортного осаждения, представленных в Таблице 1.

Ширина запрещенной зоны образцов MoO_3 определялась методом Тауца путем линейной экстраполяции краев поглощения непрямозонных переходов, построенных в координатах зависимости функции рассеяния $(F(R)hv)^{0.5}$ от энергии падающего фотона E(Puc.3).

Наблюдаемое различие значений ширины запрещенной зоны непрямозонных переходов в образцах (Рис.3 и Табл. 1) можно объяснить не только возможным отклонением состава триоксида молибдена MoO_3 от стехиометрии, но и влиянием межслоевых примесей в виде молекул H_2O (при $800^{\circ}C$) и/или примесей в виде молекул/атомов водорода и кислорода из паров воды, как и молекул/атомов азота и кислорода из закиси азота N_2O .

В четвертой главе излагаются результаты исследования особенностей структуры и оптических свойств микро- и наноструктур дисульфида молибдена MoS_2 , полученных в разных технологических условиях газотранспортного осаждения.



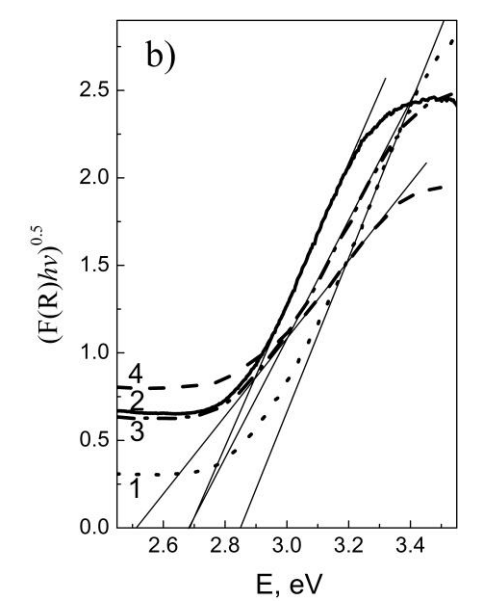
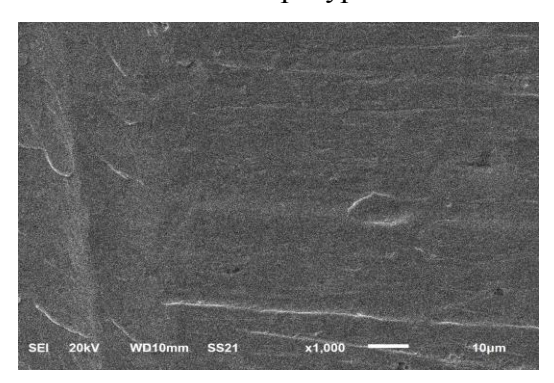


Рис.3. Оптические спектры образцов MoO₃, а) экспериментальные спектры диффузного рассеяния-R(λ)в шкале длин волн: кривая **1** (••••••)-образец MoO₃ [CVD, O₂ - 800°]; кривая **2** (••••) - образец MoO₃ [CVD, H₂O - 800°]; кривая **3** (• • • • •) – образец MoO₃ [CVD, H₂O - 1100°]; кривая **4** (• • • •)-образец MoO₃ [CVD, N₂O - 1100°];

b) графическое определение ширины запрещенной зоны образцов MoO₃ методом Тауца путем линейной экстраполяции краев поглощения непрямозонных переходов.

Вначале представлены результаты комплексных РД и СЭМ исследований образцов MoS₂, полученных путем осаждения паров серы на металлических пластинах молибдена в интервале температур 300-1000°C. Они убедительно показывают, что при разных высоких температурах 800°C и 1000°C на пластинах молибдена образуются дисульфиды молибдена двух разных модификаций: гексагональной сингонии P63/mmc при 800°C (Рис.4 и Рис.5) и тригональной (ромбоэдрической) сингонии R3m при 1000°C (Рис.4 и 5).

В последующих разделах представлены результаты комплексных исследований наноструктур MoS_2 , полученных на подложках из слюды, начиная с мономолекулярного слоя, в интервале более низких температур 525-600°C.



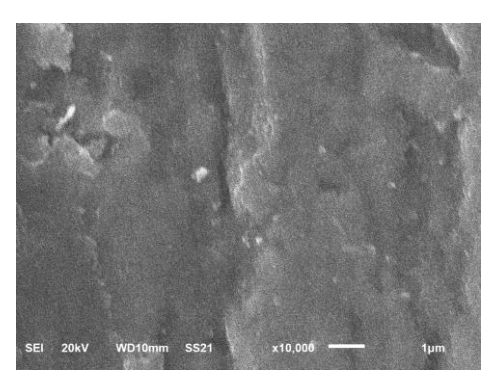


Рис.4. СЭМ поверхности пластины металлического молибдена Мо (слева) и гексагонального MoS_2 (справа), полученного на металлической пластине молибдена при температуре синтеза 800° С.

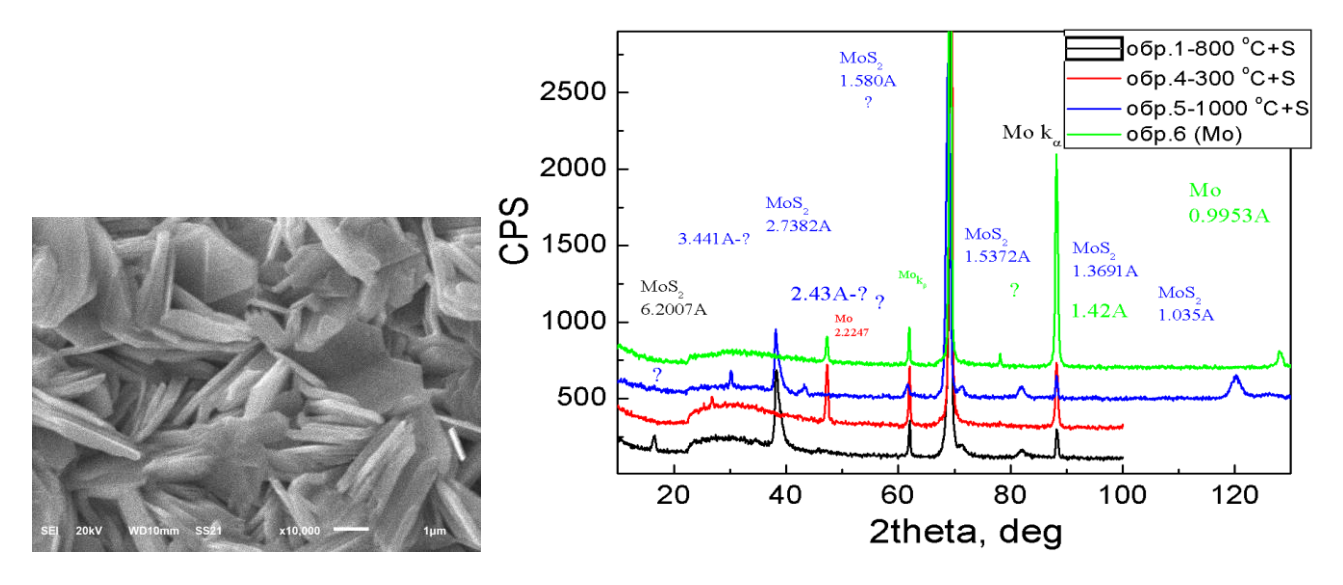


Рис.5. Слева - СЭМ ромбоэдрического MoS₂, полученного на металлической пластине Мо при температуре синтеза 1000°С. Справа - дифрактограммы образцов Mo+S, полученных на пластинах Мо при температурах 300°С, 800°С и 1000°С и чистой пластины Мо (верхняя дифрактограмма).

Для получения тонких и тончайших слоев MoS₂ на подложках из слюды мы использовали тот же реактор в виде кварцевой трубы, средняя часть которой нагревалась до необходимых температур 525-600°C с помощью электрической печи и в которой размещалась предварительно очищенная молибденовая фольга. Через кварцевую трубу пропускался поток аргона высокой чистоты с расходом 15-20 см³/мин. В кварцевой трубе, со стороны входа аргона, в температурной зоне 150 °C была расположена керамическая лодочка с ОСЧ серой. Образующиеся пары серы переносились потоком аргона в высокотемпературную область трубы и там взаимодействовали с поверхностью молибденовой фольги. В результате этого взаимодействия на поверхности молибдена образовывался слой дисульфида молибдена, плотность, морфология и структура которого зависела от температуры синтеза. Над молибденовой фольгой на расстоянии 3-5 мм располагалась подложка из слюды, на которую и осаждались слои MoS₂. Толщина осажденных слоев варьировалась в зависимости от температуры и времени осаждения паров дисульфида молибдена.

Толщина одного молекулярного слоя MoS₂ равна 6,25 Å. Поэтому мономолекулярные слои являются почти прозрачными, однако обладают характерной субструктурой и оптическими свойствами, благодаря которым их можно идентифицировать. На Рис.6 приведены два изображения ACM в разном масштабе полученных нами при 600°C мономолекулярных слоев MoS_2 на которых хорошо видны квазиупорядоченные самоорганизованные домены тригональной самоподобной симметрии формы, тригональной элементарной ячейки мономолекулярного слоя и симметрии мономолекулярного слоя D_{3h} (Рис.6). Длины сторон доменов в виде правильных треугольников, в среднем, составляют 100-200 nm.

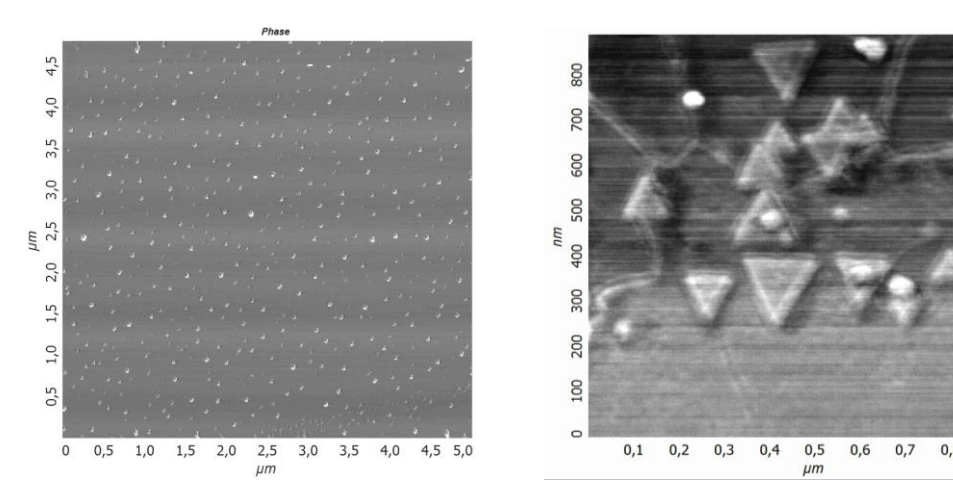


Рис.6. АСМ изображения (в двух масштабах) тригональных доменов мономолекулярных слоев MoS_2

Полученные в таких же условиях при 600° С двуслойные пленки содержат домены гексагональной формы в соответствии с гексагональной симметрией D_{6h} пленок, содержащих четное число слоев. Размеры гексагональных доменов достигают 2-3-х микрон по диагонали, как это показано на Рис.7 слева. На некоторых участках верхний слой MoS_2 сворачивается в нанотрубки, длины которых достигают нескольких десятков микрон (Рис.7 справа).

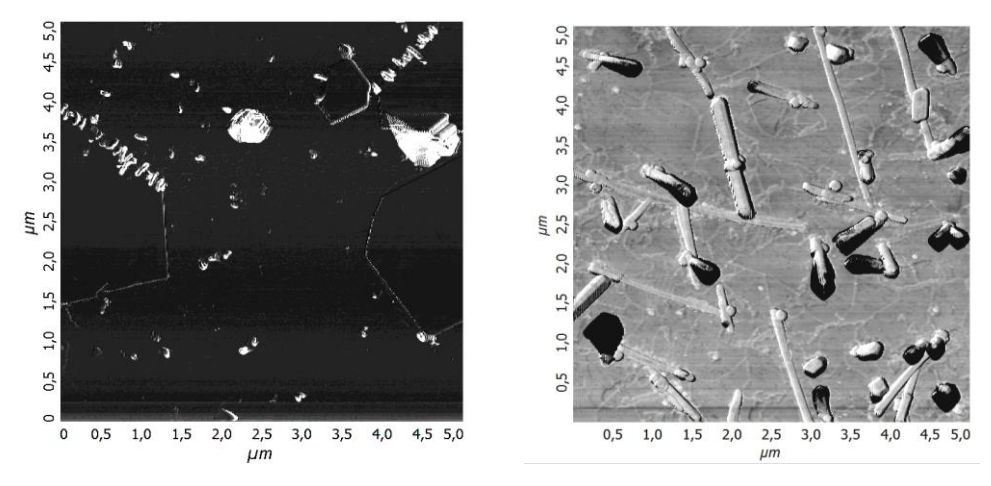


Рис.7. ACM изображения двуслойных MoS_2 с различными микродефектами: слевагексагональные домены микронных размеров; справа- нанотрубки из поверхностного слоя MoS_2 .

На Рис.8 приведены ACM 3D изображения квантовых точек MoS_2 (слева) и сечения профиля этого изображения (справа). Квантовые точки среднего диаметра порядка 50 nm самоорганизуются в процессе роста из малых тригональных доменов на средних расстояниях 100-200 nm.

Один из дальнейших путей самоорганизации многослойных наноструктур MoS_2 представлен на Puc.9 в двух масштабах в виде фракталоподобных образований из нанокристаллов тригональной и гексагональной формы.

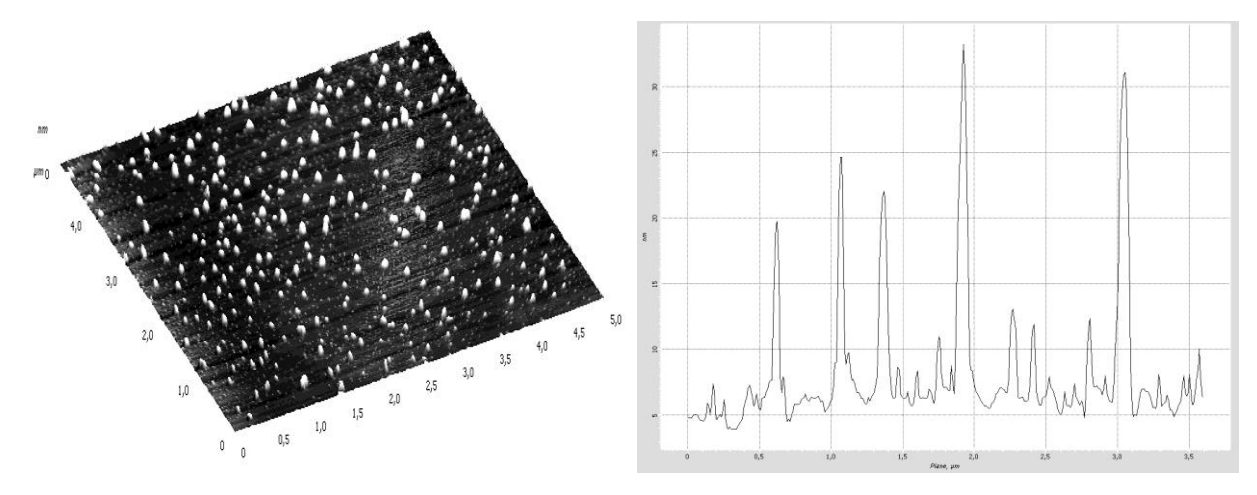


Рис.8. ACM 3D изображения квантовых точек MoS_2 (слева) и сечения профиля этого изображения (справа).

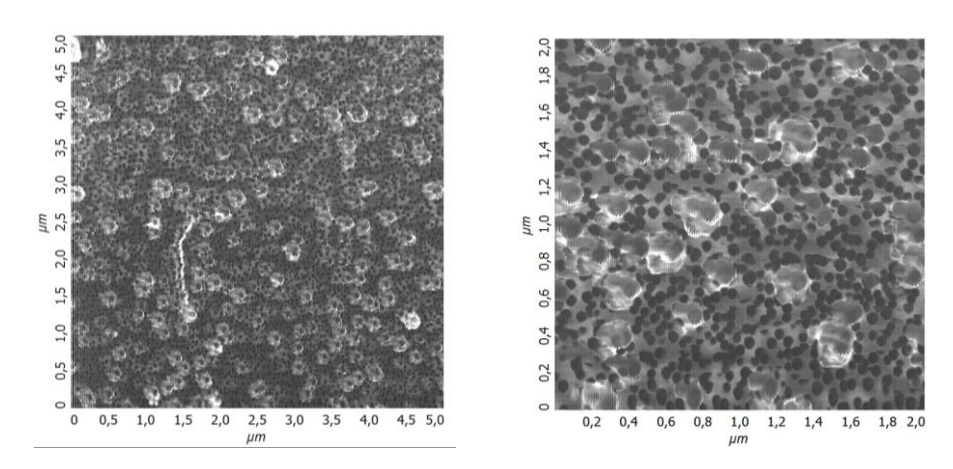
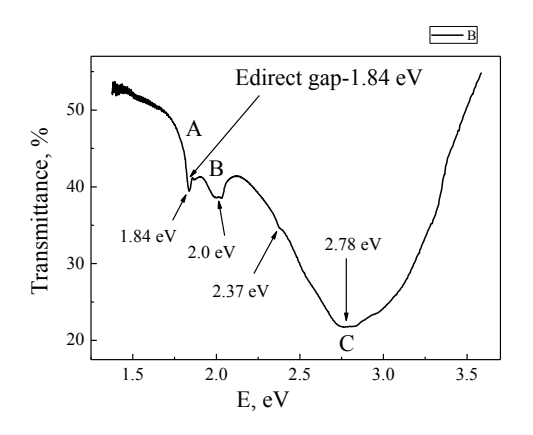


Рис.9. АСМ изображения (в двух масштабах) многослойных фракталообразных наноструктр MoS_2

На Рис.10 слева приведен полученный нами оптический спектр пропускания мономолекулярного слоя MoS₂, полученного при температуре 600°C на подложке из слюды, морфология которого содержит тригональные домены субмикронных размеров (Рис.2). Общепринятая к настоящему времени интерпретация оптических спектров относит две первые полосы A и B к экситонным прямозонным переходам в точке К зоны Бриллюэна мономолекулярного слоя MoS₂. Разность энергий между этими пиками в наших спектрах на Рис.6, равная 0.160 эВ, довольно хорошо согласуется с теоретическим значением 0,148 эВ, рассчитанным для мономолекулярного слоя MoS₂

На Рис.10 справа приведены оптические спектры того же мономолекулярного слоя MoS_2 (нижняя кривая) вместе со спектром, полученным после пребывания образца на воздухе в течение года (верхняя кривая). Результаты показывают, что и после столь длительного пребывания на воздухе оптический спектр мономолекулярного слоя MoS_2 сохранил основные черты структуры и по-прежнему показывает экситонные пики A и B прямозонного перехода. Этот факт свидетельствует о высокой стабильности химических связей S -Mo-S в мономолекулярном слое, не подверженным замещению их связями с кислородом, которая

подтвердилась при последующих исследованиях спектров комбинационного рассеяния (кривые 1,2,3 при T=525°C и кривая 1 при T= 600°C на Рис.10)



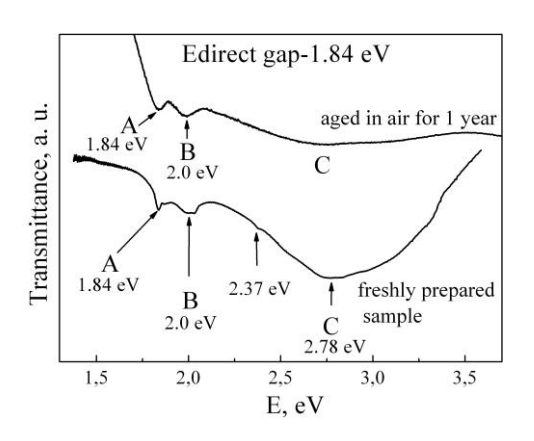


Рис.10. Оптические спектры пропускания мономолекулярных слоев MoS_2 . Справа: нижний спектр принадлежит свежеприготовленному образцу, верхний спектр получен от образца после его хранения на воздухе в течение одного года.

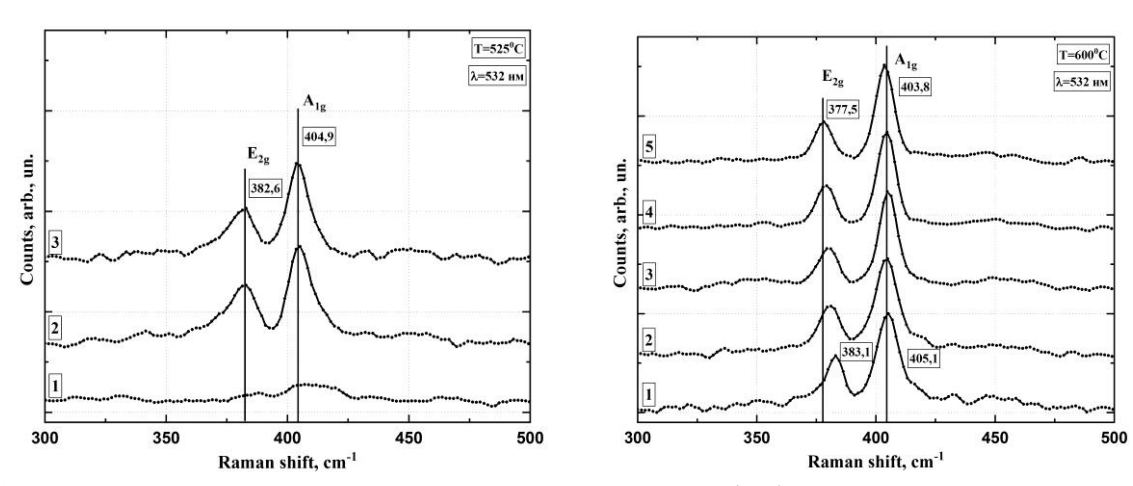


Рис.11. Рамановские спектры комбинационного рассеяния (КР) мономолекулярного слоя MoS₂ (кривые 1,2,3 слева и кривая 1 справа) и многослойных наноструктур в порядке возрастания их толщины, выращенных при температурах 525°C (слева) и 600°C (справа).

Исследования спектров KР тонких MoS₂ слоев показали, что OT мономолекулярных/однослойных образцов (Рис.11, кривые1,2,3 слева и кривая 1 справа) максимальные значения для внутрислоевой моды $E^{1}_{2g} \sim 383.0$ см и минимальные значения для межслоевой моды A_{1g} ~ 404.9 -405.1 см $^{-1}$ хорошо согласуются с известными значениями 384 см $^{-1}$ и 405 см $^{\text{-}1}$ для однослойного MoS_2 с тригональной симметрией слоя D_{3h} . Кривая 2 на Рис.11 (справа) с частотами мод E^{1}_{2g} 382.0 см $^{-1}$ и A_{1g} 405.0 см $^{-1}$ принадлежит двуслойному образцу с гексагональной симметрией D_{6h},. Кривая 3 Рис.11(справа) принадлежит квантовым точкам. Значения мод $E_{2g}^{\ 1}$ и A_{1g} этих образцов, как и следующих по иерархии фракталоподобных наноструктур, ближе к значениям этих мод в объемных образцах MoS_2 (380 и 406 см⁻¹) но отличается от них. Особенно это относится к внутрислоевой моде ${\rm E_{2g}}^1$ фракталообразного образца, имеющей минимальную величину 377.5 см⁻¹из всех известных значений для этой моды,

что можно объяснить уменьшением энергии ковалентных внутрислоевых связей S -Mo-S во фракталообразных структурах с промежуточной размерностью (между 3D и 2D)..

ОСНОВНЫЕ РЕЗУЛЬТАТЫ И ВЫВОДЫ

С использованием всех преимуществ комплексного подхода к получению образцов микро- и наноструктур триоксида и дисульфида молибдена и исследования структуры, морфологии и электронного строения, были получены изложенные выше результаты о влиянии технологических параметров газотранспортного осаждения на кристаллическую структуру, морфологию микро- и нанокристаллов и ширину запрещенной зоны, на основании которых сделаны следующие выводы:

- 1. Структура, внешняя форма микрокристаллов и ширина запрещенной зоны триоксида молибдена MoO₃ оказываются очень чувствительными не только к технологическим условиям газотранспортного осаждения (температура синтеза и состав газотраспортной среды), но и к механическому воздействию в виде растирания.
- 2. При температуре синтеза 800° С под действием паров воды в газотраспортной среде триоксид молибдена MoO_3 переходит из основной орторомбической фазы P bnm в моноклинную P 2_1 /n с уменьшением ширины запрещенной зоны от 2.85 eV до 2.2.68 eV;
- 3. При максимально высокой температуре синтеза 1100° С примеси водорода и кислорода из паров воды H_2O или азота и кислорода из N_2O не изменяют слоистую орторомбическую структуру микрокристаллов, но уменьшают значение ширины запрещенной зоны до 2.68 eV и 2.51 eV соответственно;
- 4. При механическом воздействии в виде растирания в порошках из микрокристаллов MoO_{3} , синтезированных при высокой температуре 1100° C с добавлением паров воды или закиси азота к газу-носителю аргону, вдобавок к основной орторомбической фазе P bnm появляется вторая моноклинная фаза $P 2_1/n$;
- 5. Микрокристаллы MoO_3 , синтезированные при температуре 800° С, оказываются более устойчивыми к механическим воздействиям, и после растирания содержат одну исходную фазу: орторомбическую фазу P bnm при синтезе в аргон-кислородной газотранспортной среде или моноклинную фазу P 2_1 /n в случае добавления паров воды к основному газу-носителю аргону.
- 6. При высоких температурах 800°C и 1000°C газотранспортного осаждения паров серы на металлические пластины молибдена можно получить дисульфиды молибдена разных модификаций: гексагональной сингонии P6₃/mmc при 800°C и тригональной/ромбоэдрической сингонии R3m при 1000°C.
- 7. Методом газотранспортного синтеза в интервале температур 525- 600°С на подложках из слюды можно получать мономолекулярные слои MoS₂, содержащие тригональные домены и обладающие шириной запрещенной зоны 1.84 эВ при прямозонных оптических переходах с образованием экситонов при комнатной температуре.

8. Во фракталообразных образцах MoS_2 значения мод внутрислоевых колебаний E^1_{2g} 377.5 см⁻¹ и межслоевых колебаний A_{1g} 403.8 отличаются не только от соответствующих значений мод мономолекулярного слоя (E^1_{2g} 383.1 см⁻¹ и A_{1g} 405.1 см⁻¹) и мультислоев 2D размерности, но и от известных значений объемных образцов 3D размерности.

Минимальная из всех известных частота моды внутрислоевых колебаний во фракталообразных образцах E^{1}_{2g} 377.5 см⁻¹ обусловлена их промежуточной нецелочисленной размерностью 2<D<3.

ПУБЛИКАЦИИ ПО ТЕМЕ ДИССЕРТАЦИИ

- [1] Домашевская Э. П.. Ивков С. А, Аль Хайлани Хасан Исмаил Дамбос Радам Али Обайд Радам, Рябцев С. В./ Особенности формирования тонких слоев дисульфида молибдена MoS₂ на металлическом молибдене при разных температурах//Конденсированные среды и межфазные границы, 2018 Т. 20, № 1. С. 56–65
- [2] Домашевская Э.П., Ивков С.А., Аль Хайлани Хасан Исмаил Дамбос, Рябцев С.В./Особенности структуры и оптических свойств триоксида молибдена MoO_3 , полученного в разных технологических условиях газотранспортного осаждения // Неорганические материалы, 2019, том 55, No. 1.C. 52–61
- [3] Домашевская Э.П., Голощапов Д.Л., Аль Хайлани Хасан Исмаил Дамбос, Руднев Е.В., Гречкина М.В., Рябцев С.В./ Особенности морфологии и оптических свойств наноструктур дисульфида молибдена от мономолекулярного слоя до фракталообразной субструктуры // Физика и техника полупроводников, 2019, том 53, вып. 7. С.940-946.
- [4] Домашевская Э. П., Ивков С. А., Аль Хайлани Хасан Исмаил Дамбос, Рябцев С.В./ Особенности структуры и оптических свойств триоксида молибдена МоОЗ, полученного в разных технологических условиях газотранспортного осаждения// ФАГРАН—2018. Материалы VIII Всероссийской конференции с международным участием, посвященной 100-летию Воронежского государственного университета (г. Воронеж, 8—11 октября 2018 г.) С. 258.
- [5] Домашевская Э. П., Ивков С. А., Аль Хайлани Хасан Исмаил Дамбос, Рябцев С.В./ Формирование тонких слоев дисульфида молибдена MoS2на металлическом молибдене при разных температурах// ФАГРАН—2018. Материалы VIII Всероссийской конференции с международным участием, посвященной 100-летию Воронежского государственного университета (г. Воронеж, 8—11 октября 2018 г.) С. 260.
- [6] Домашевская Э.П., Голощапов Д.Л., Аль Хайлани Хасан Исмаил Дамбос, Руднев Е.В., Гречкина М. В., Рябцев С.В./Особенности морфологии и оптических свойств наноструктур дисульфида молибдена от мономолекулярного слоя до фракталообразной субструктуры // Рентгеновские и электронные спектры и химическая связь: XXIII всероссийская конференция, 1-4 октября 2019 года, Воронеж: программа и тезисы докладов. Воронежский государственный университет, 2019.С. 100

Работы [1-3] опубликованы в периодических изданиях, рекомендованных ВАК для публикации основных результатов диссертации. Работы [2,3] опубликованы в академических изданиях, индексируемых в системах WoS и SCOPUS.